

Документ подписан простой электронной подписью  
Информация о владельце:  
ФИО: Локтионова Оксана Геннадьевна  
Должность: проректор по учебной работе  
Дата подписания: 02.05.2024 12:06:41  
Уникальный программный ключ:  
0b817ca911e6668abb13a5d426d39e5f1c11eabbf73e943df4a4851fda56d089

МИНОБРНАУКИ РОССИИ

Федеральное государственное бюджетное  
образовательное учреждение высшего образования  
«Юго-Западный государственный университет»  
(ЮЗГУ)

Кафедра вычислительной техники

УТВЕРЖДАЮ  
Проректор по учебной работе  
О.Г. Локтионова  
« 05 » 02 2021 г.



## БИФУРКАЦИИ В ОДНОМЕРНЫХ ОТОБРАЖЕНИЯХ

Методические указания для студентов направлений  
подготовки 09.03.01 и 09.04.01

Курск 2021

УДК 534.1

Составитель Ж.Т. Жусубалиев

Рецензент

Кандидат технических наук, доцент *Ю. А. Халин*

**Бифуркации в одномерных отображениях:** методические указания для студентов направлений подготовки 09.03.01 и 09.04.01 / Юго-Зап. гос. ун-т; сост. Ж.Т. Жусубалиев. – Курск, 2021. – 18 с.: ил.7. – Библиогр.: с. 18.

Описываются бифуркации в одномерных отображениях. Предназначены для студентов направлений подготовки 09.03.01, 09.04.01 очной и заочной форм обучения.

Текст печатается в авторской редакции

Подписано в печать . . . . .2021. Формат **60 × 84<sup>1/16</sup>**.  
Усл. печ. л. . Уч.-изд. л. . Тираж 50 экз. Заказ **458**. Бесплатно.  
Юго-Западный государственный университет.  
305040, г. Курск, ул. 50 лет Октября, 94.

## 1. Цель работы

Закрепление знаний по теории бифуркаций в одномерных отображениях путем решения тестовых задач.

## 2. Устойчивость и гиперболичность неподвижных точек и циклов

- 1. Мы говорили на предыдущих занятиях о бифуркациях неподвижных точек отображений

$$x_{k+1} = F(a, x_k),$$

зависящих от одного параметра  $a$ .

- 2. Неподвижную точку находим из условия

$$x = F(a, x) \quad \text{или} \quad F(a, x) - x = 0.$$

Аналогично, цикл с периодом  $m$  удовлетворяет уравнению:

$$x = g(a, x), \quad \text{или} \quad g(a, x) - x = 0,$$

где

$$g(a, x) = F^m(a, x) = \underbrace{F(\cdots F(a, x)) \cdots}_m.$$

Тогда периодической орбите с периодом  $m$  (циклу с периодом  $m$ ), состоящей из последовательности различных точек  $x_0, x_1 = F(a, x_0), x_2 = F^2(a, x_0), \dots, x_m = x_0$  будет соответствовать  $m$  неподвижных точек отображения:

$$x_{k+1} = g(a, x_k), \quad g(a, x) = \underbrace{F(F(\cdots F(a, x)\cdots)) \cdots}_m.$$

- 3. Неподвижные точки/циклы делятся на гиперболические и негиперболические.
- 4. Гиперболическая неподвижная точка  $x_* = F(a, x_*)$  устойчива согласно теореме 1, когда

$$\left| \frac{\partial F(a, x_*)}{\partial x} \right| < 1 \quad \Leftrightarrow \quad -1 < \frac{\partial F(a, x_*)}{\partial x} + 1$$

и неустойчива, если

$$\left| \frac{\partial F(a, x_*)}{\partial x} \right| > 1.$$

- 5. Гиперболический цикл с периодом  $m$  устойчив, когда

$$\left| \frac{\partial F(a, x_1)}{\partial x} \cdot \frac{\partial F(a, x_2)}{\partial x} \cdot \dots \cdot \frac{\partial F(a, x_m)}{\partial x} \right| < 1$$

или

$$\left| \prod_{k=1}^m \frac{\partial F(a, x_k)}{\partial x} \right| < 1.$$

Напомним, что циклу с периодом  $m$  отвечает  $m$  неподвижных точек  $x_1, x_2, \dots, x_m$  отображения

$$x_{k+1} = g(a, x_k), \quad g(a, x) = \underbrace{F(F(\dots F(a, x)) \dots)}_m.$$

- 6. Величины  $\rho$  и  $\rho_m$

$$\rho = \frac{\partial F(a, x_*)}{\partial x} \quad \text{и} \quad \rho_m = \prod_{k=1}^m \frac{\partial F(a, x_k)}{\partial x}$$

называются мультипликаторами неподвижной точки  $x_*$  и цикла с периодом  $m$ , соответственно.

- 7. Необходимо обратить внимание на то обстоятельство, что неподвижная точка  $x_*$  отображения  $x_{k+1} = F(a, x_k)$  есть цикл с периодом  $m = 1$ .
- 8. Неподвижная точка  $x_*$  называется негиперболической, если

$$\left| \frac{\partial F(a, x_*)}{\partial x} \right| = 1 \Leftrightarrow \frac{\partial F(a, x_*)}{\partial x} = +1 \quad \text{или} \quad \frac{\partial F(a, x_*)}{\partial x} = -1,$$

иначе  $x_*$  – гиперболическая.

- 9. Цикл  $x_1, x_2, \dots, x_m$  с периодом  $m$  называется негиперболическим, если

$$\left| \prod_{k=1}^m \frac{\partial F(a, x_k)}{\partial x} \right| = 1 \Leftrightarrow \prod_{k=1}^m \frac{\partial F(a, x_k)}{\partial x} = +1 \quad \text{или} \quad \prod_{k=1}^m \frac{\partial F(a, x_k)}{\partial x} = -1$$

иначе – гиперболическим.

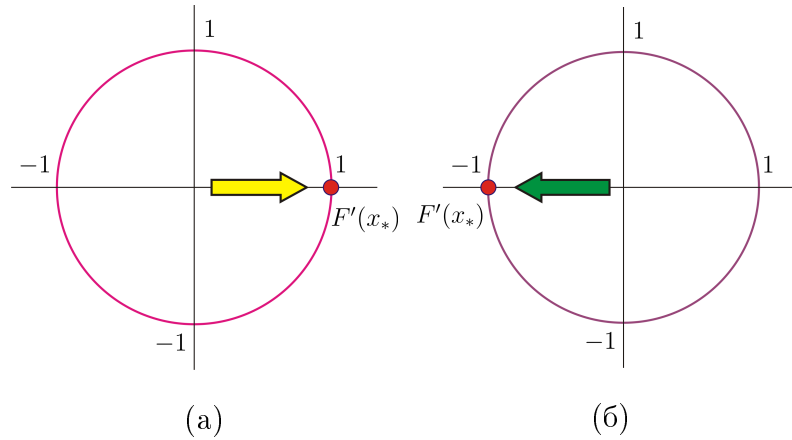


Рис. 1. Мультипликаторы негиперболических неподвижных точек/циклов

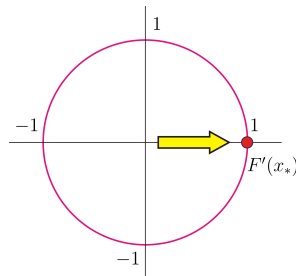
- 9. Устойчивость негиперболических неподвижных точек определяется теоремой 2 и теоремой 3.
- 10. Доказано, что кандидатами на точки бифуркации являются те значения параметра  $a$ , при которых неподвижная точка или цикл оказываются негиперболическими.

### 3. Обзор бифуркаций неподвижных точек/циклов

Переходим к краткому обзору бифуркаций, которые мы изучили, опуская при этом детали бифуркационного анализа.

#### 3.1. КАСАТЕЛЬНАЯ БИФУРКАЦИЯ

- Касательная бифуркация, как мы уже знаем, связана с нарушением условия гиперболичности, когда мультипликатор неподвижной точки обращается в  $+1$ :



Таким образом, условие нарушения гиперболичности

$$x_* = F(a, x_*), \quad \frac{\partial F(a, x_*)}{\partial x} = +1$$

можно рассматривать как уравнение относительно бифуркационного значения параметра  $a$ .

Модельное отображения для описания касательной бифуркации (нормальная форма):

$$x_{k+1} = F(a, x_k), \quad F(a, x) = a + x + x^2.$$

Отображение имеет две неподвижные точки при отрицательных значениях параметра  $a$ :

$$x_1^* = -\sqrt{-a}, \quad x_2^* = +\sqrt{-a}, \quad a < 0.$$

Причем  $x_1^*$  устойчива, когда

$$-1 < a < 0.$$

Неподвижная точка  $x_1^* = -\sqrt{-a}$  становится негиперболической с мультипликатором  $+1$  при  $a = 0$ .

Вторая неподвижная точка  $x_2^* = +\sqrt{-a}$  неустойчива для всех  $a < 0$ , но становится негиперболической с мультипликатором  $+1$  при  $a = 0$ . Таким образом, при бифуркационном значении параметра

$$a = 0.0$$

существует негиперболическая неподвижная  $x_* = x_{1,2}^* = 0$  с

$$\frac{\partial F(0, 0)}{\partial x} = +1, \quad \frac{\partial F^2(0, 0)}{\partial x^2} = 2 > 0.$$

Следовательно,  $x_*$  полуустойчива слева .

На рис. 4 приведены бифуркационная и итерационные диаграммы иллюстрирующие бифуркационный переход.

При  $-1 < a < 0$  существуют две неподвижные точки, одна из которых устойчива ( $x_1^*$ ), а другая – неустойчива ( $x_2^*$ ). В точке бифуркации  $a = 0.0$ , когда мультипликаторы

$$\frac{\partial F(a, x_1^*)}{\partial x} = \frac{\partial F(a, x_2^*)}{\partial x} = +1,$$

обе неподвижные точки сливаются при  $a = 0$ , а затем исчезают при переходе через бифуркационное значение в область значений  $a > 0.0$ .

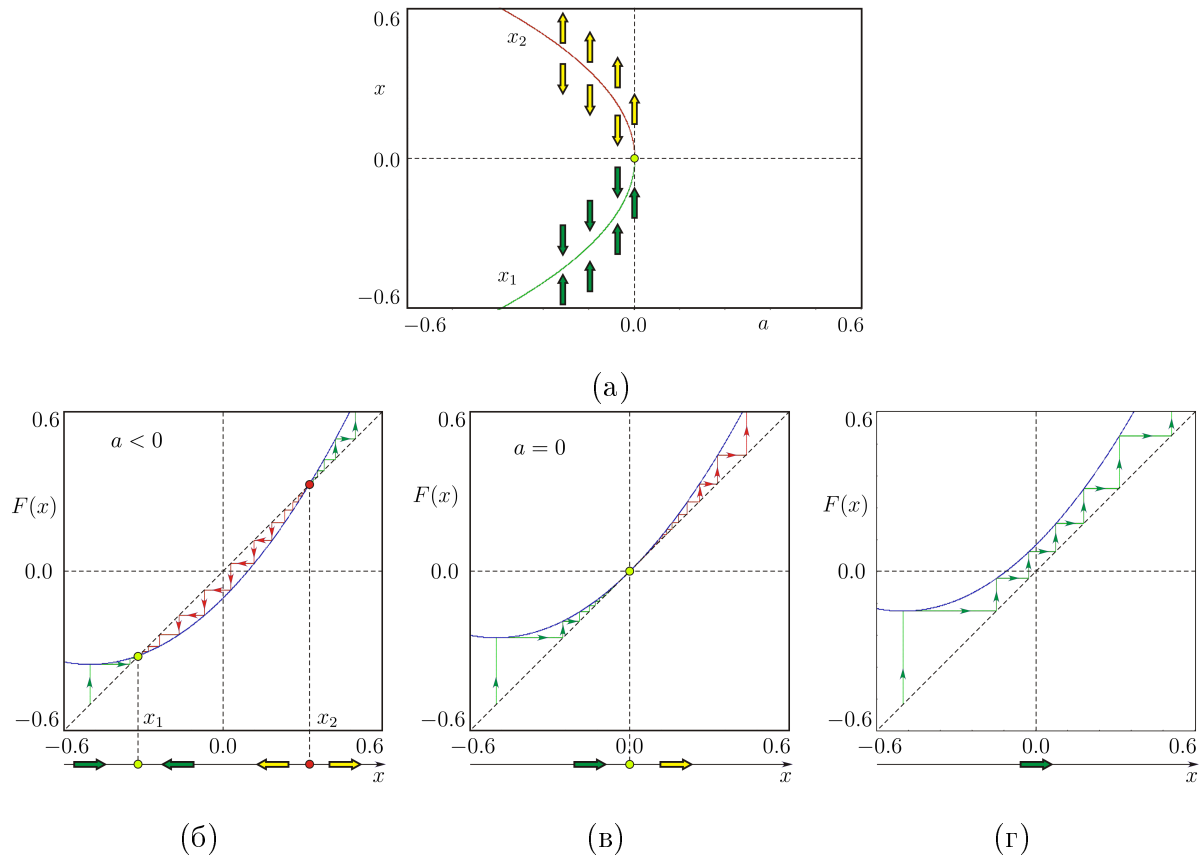
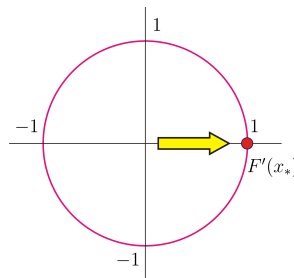


Рис. 2. Касательная бифуркация. (а) Бифуркационная диаграмма. (б) До бифуркации  $a < 0.0$ . (в) В точке бифуркации  $a = 0.0$ . (г) После бифуркации  $a > 0.0$

### 3.2. Суперкритическая вилообразная бифуркации

Существуют две модификации: субкритическая и суперкритическая. Вилообразная бифуркация также связана с обращением мультипликатора в  $+1$ .



Начнем с суперкритического варианта. Модельное отображения для описания бифуркации (нормальная форма):

$$x_{k+1} = F(a, x_k), \quad F(a, x) = (1 + a)x - x^3.$$

При  $a < 0$  отображение имеет единственную неподвижную точку  $x_1^* = 0$ , а при  $a > 0$  появляются еще две:  $x_{2,3}^* = \pm\sqrt{a}$ ,  $a > 0$ .

Если

$$-2 < a < 0,$$

то  $x_1^* = 0$  устойчива.

При  $a > 0$  неподвижная точка  $x_1^*$  теряет устойчивость, но появляются еще две:  $x_{2,3}^* = \pm\sqrt{a}$ , которые устойчивы, когда  $0 < a < 1$ .

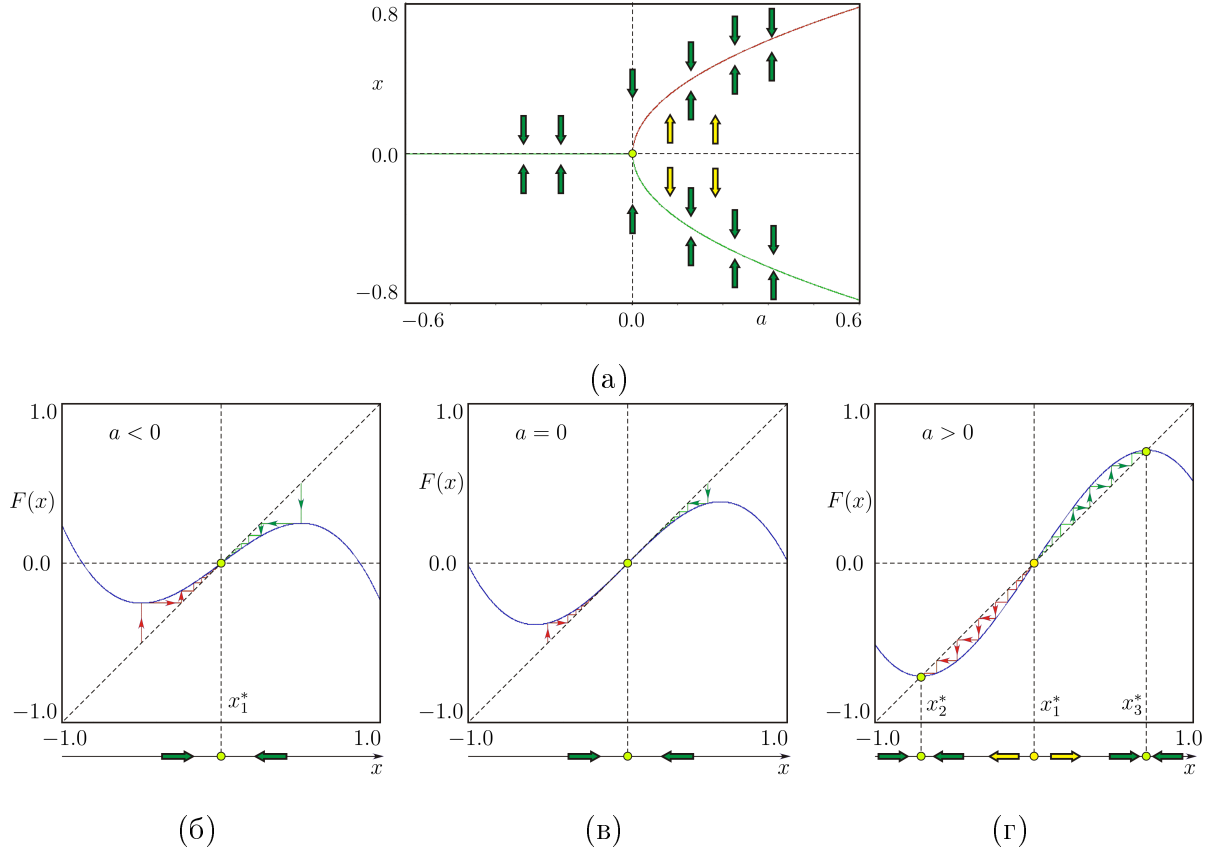


Рис. 3. Суперкритическая вилообразная бифуркация. (а) Бифуркационная диаграмма. (б) До бифуркации  $a < 0.0$ . (в) В точке бифуркации  $a = 0.0$ . (г) После бифуркации  $a > 0.0$

В точке  $a = 0$  существуют устойчивые негиперболические неподвижные точки  $x_1^* = x_{2,3}^* = 0$  с мультипликаторами  $+1$ . Причем, как можно видеть из графика функции  $F(a, x)$ , производные в точке бифуркации  $a = 0.0$  равны  $\frac{\partial F(0,0)}{\partial x} = +1$ ,  $\frac{\partial F^2(0,0)}{\partial x^2} = 0$ . Поскольку  $\frac{\partial F^2(0,0)}{\partial x^2} = 0$  и  $\frac{\partial F^3(0,0)}{\partial x^3} = -6 < 0$ , то негиперболические неподвижные точки  $x_1^* = x_{2,3}^* = 0$  асимптотически устойчивы.

Таким образом, если  $-2 < a < 0$ , то отображение имеет единственную гиперболическую устойчивую неподвижную точку  $x_1^* = 0$ .

При увеличении параметра  $a$  мультипликатор  $\frac{\partial F(a, x_1^*)}{\partial x} = 1 + a$  стре-

мится к  $+1$ . При  $a = 0.0$ , где  $\frac{\partial F(a, x_1^*)}{\partial x} = +1$ , неподвижная точка  $x_1^* = 0$  становится негиперболической. При переходе через точку бифуркации  $a = 0.0$  неподвижная точка  $x_1^* = 0$  становится неустойчивой с  $\frac{\partial F(a, x_1^*)}{\partial x} > +1$ . При этом возникают две новые неподвижные точки  $x_{2,3}^* = \pm\sqrt{a}$ , которые устойчивы в диапазоне изменения параметра  $0 < a < 1$  (см. рис. 3). Как можно видеть из рис. 3(а), бифуркационная диаграмма напоминает вилы, откуда и следует название бифуркации.

### 3.3. Субкритическая вилообразная бифуркация

Как мы говорили ранее, существуют и другой вариант, который называется субкритической бифуркацией.

Модельное отображения для описания бифуркации (нормальная форма):

$$x_{k+1} = F(a, x_k), \quad F(a, x) = (1 + a)x + x^3. \quad (2)$$

При  $a < 0$  отображение имеет три неподвижные точки  $x_1^* = 0$ ,  $x_{2,3}^* = \pm\sqrt{-a}$ , а при  $a > 0$  – одну:  $x_1^* = 0$ .

Область устойчивости гиперболической неподвижной точки  $x_1^* = 0$  остается без изменения:

$$-2 < a < 0.$$

Однако симметричные неподвижные точки  $x_{2,3}^* = \pm\sqrt{-a}$  при  $a < 0$  неустойчивы.

Когда  $a = 0$  симметричные неподвижные точки сливаются с  $x_1^* = 0$ :

$$x_1^* = x_{2,3}^* = 0$$

и становятся негиперболическими с мультипликатором  $+1$ .

Неподвижная точка, как и ранее становится неустойчивой при  $a > 0$ . Однако неустойчивые  $x_{2,3}^* = \pm\sqrt{-a}$ ,  $a < 0$  при увеличении  $a$  «влипают» в  $x_1^* = 0$  и исчезают при смене знака  $a$  с «минуса» на «плюс».

Как можно видеть из графика функции  $F(a, x)$  (рис. 4), производные в точке бифуркации  $a = 0.0$  равны  $\frac{\partial F(0, 0)}{\partial x} = +1$ ,  $\frac{\partial F^2(0, 0)}{\partial x^2} = 0$ .

Поскольку  $\frac{\partial F^3(0, 0)}{\partial x^3} = 6 > 0$ , то при  $a = 0.0$  негиперболические неподвижные точки  $x_1^* = x_{2,3}^* = 0$  неустойчивы.

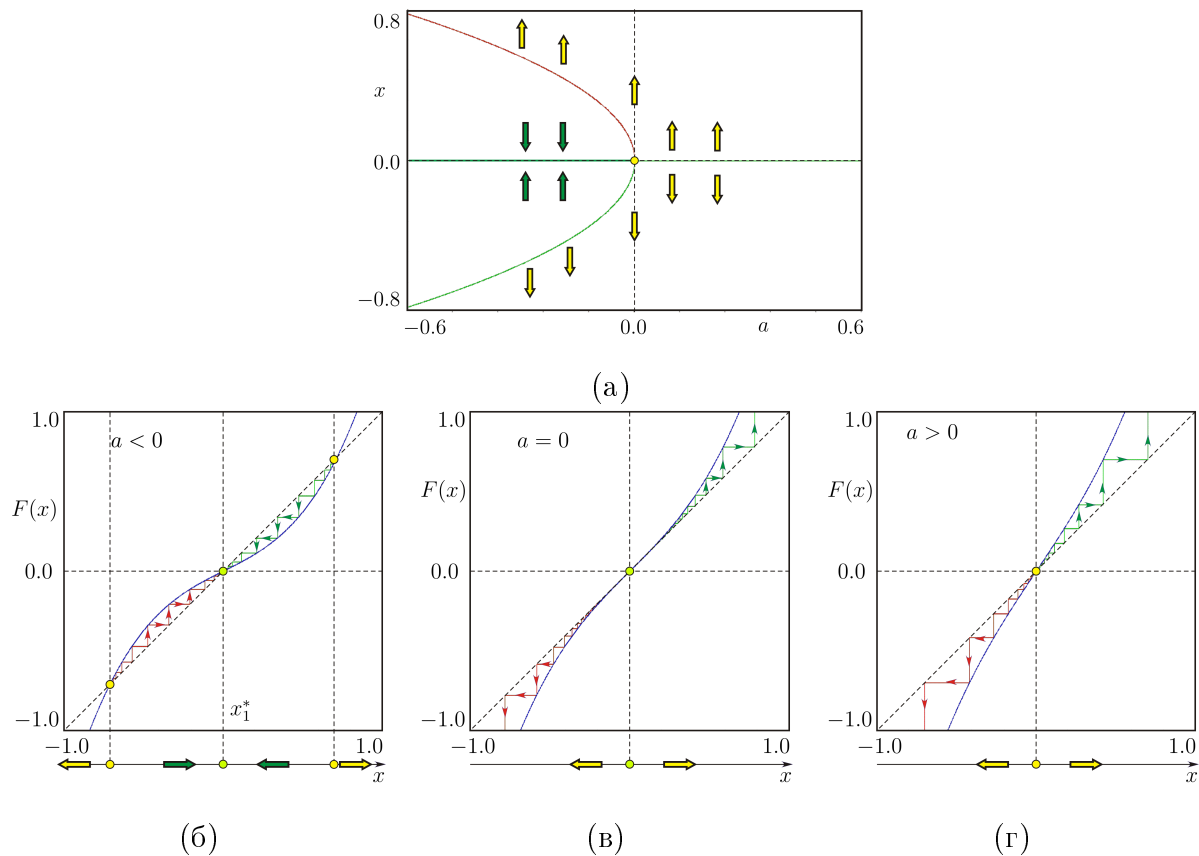
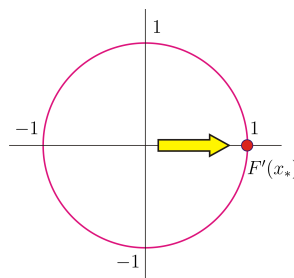


Рис. 4. Субкритическая вилообразная бифуркация. (а) Бифуркационная диаграмма. (б) До бифуркации  $a < 0.0$ . (в) В точке бифуркации  $a = 0.0$ . (г) После бифуркации  $a > 0.0$

### 3.4. Транскритическая бифуркация

Транскритическая бифуркация связана с обращением мультипликатора в  $+1$ .



## 4. Модельное отображения для описания бифуркации (нормальная форма)

$$x_{k+1} = F(a, x_k), \quad F(a, x) = (1 + a)x - x^2. \quad (1)$$

Отображение имеет две неподвижные точки:

$$x_1^* = 0, \quad x_2^* = a.$$

Неподвижная точка  $x_1^*$  устойчива, когда:

$$-2 < a < 0,$$

$x_2^*$  устойчива, когда

$$0 < a < 2.$$

При вариации  $a$  неподвижная точка  $x_1^*$  сливается с  $x_2^*$  и обе неподвижные точки становятся негиперболическими  $x_1^* = x_2^* = 0$  с мультипликатором  $+1$  в точке  $a = 0$ :

На рис. 5 приведены диаграммы, иллюстрирующие бифуркационный переход.

При  $-2 < a < 0$  отображение имеет две неподвижные точки, одна из которых устойчивая  $x_1^* = 0$ , а другая  $x_2^* = a$  – неустойчивая.

При увеличении параметра  $a$  обе неподвижные точки  $x_{1,2}^*$  сближаются.

При этом оба мультипликаторы  $\frac{\partial F(a, x_{1,2}^*)}{\partial x} = 1 \pm a$  стремятся к  $+1$ . В точке

$a = 0.0$ , где  $\frac{\partial F(a, x_{1,2}^*)}{\partial x} = 1 \pm a = +1$  неподвижные точки  $x_{1,2}^*$  сливаются, а график функции  $F(a, x)$  касается биссектрисы  $y = x$ .

При  $a = 0.0$  неподвижные точки  $x_{1,2}^* = 0$  становятся негиперболическими с мультипликатором  $+1$ , причем

$$\frac{\partial F(0, 0)}{\partial x} = +1, \quad \frac{\partial F^2(0, 0)}{\partial x^2} = -2 < 0.$$

Следовательно, в точке бифуркации  $a = 0.0$  существует полуустойчивая справа негиперболическая неподвижная точка  $x_1^* = x_2^* = 0$ . При переходе через точку бифуркации  $a = 0.0$ , т.е. при смене знака параметра с «минуса» на «плюс», неподвижные точки  $x_{1,2}^*$  «обмениваются» (“exchange of stability”) устойчивостью:  $x_1^* = 0$  становится неустойчивой, а  $x_2^* = a$  – устойчивой (рис. 5).

#### 4.1. Бифуркация удвоения периода

Бифуркация удвоения периода связана с обращением мультипликатора в  $-1$ . Существуют две модификации: суперкритическая и субкритическая. Изучим суперкритическую бифуркацию удвоения периода.

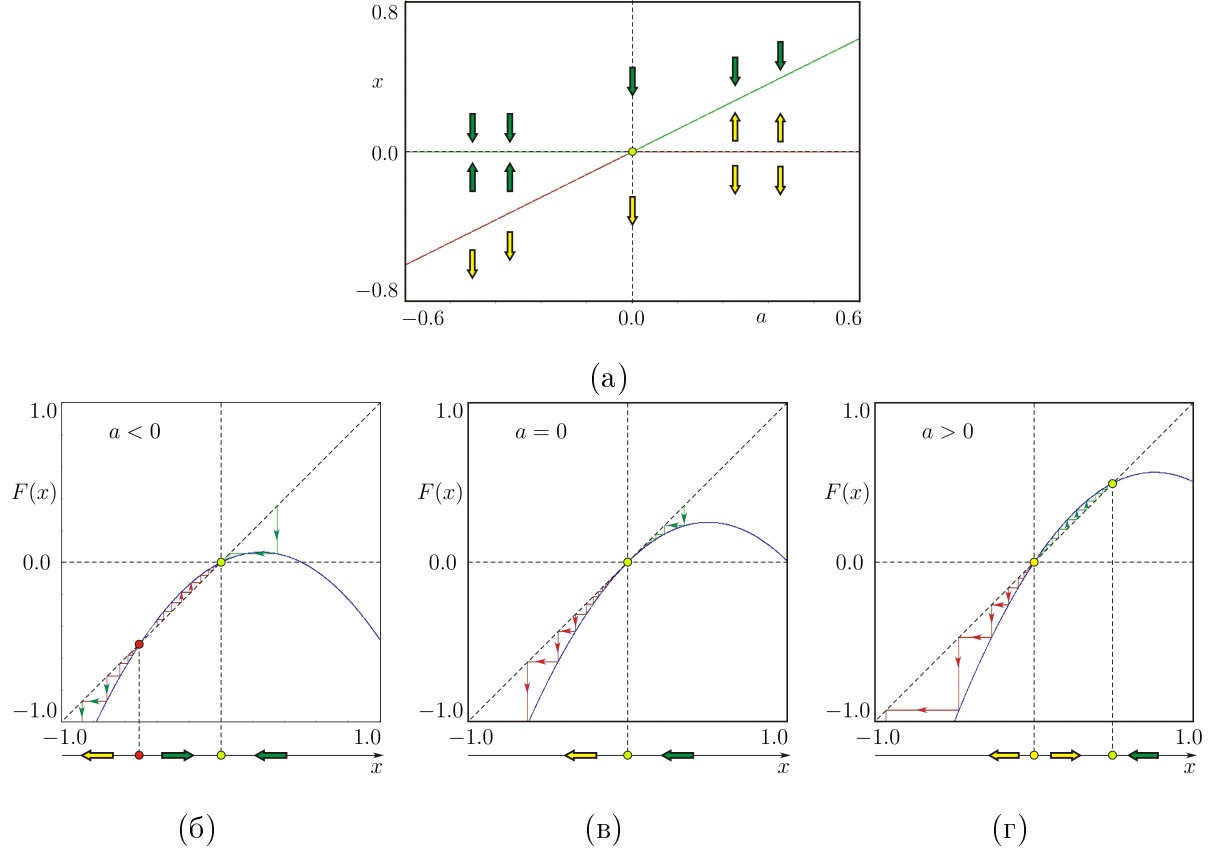
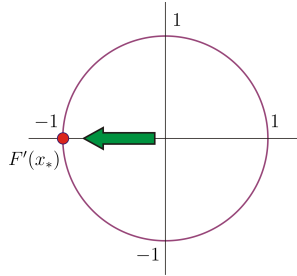


Рис. 5. Транскритическая бифуркация. (а) Бифуркационная диаграмма. (б) До бифуркации  $a < 0.0$ . (в) В точке бифуркации  $a = 0.0$ . (г) После бифуркации  $a > 0.0$



Модельное отображения для описания бифуркации (нормальная форма)

$$x_{k+1} = F(a, x_k), \quad F(a, x) = a - x - x^2. \quad (1)$$

Отображение имеет две неподвижные точки:

$$x_1^* = -1 + \sqrt{1+a} \quad \text{and} \quad x_2^* = -1 - \sqrt{1+a}, \quad a > -1.0$$

Неподвижная точка  $x_1^*$  устойчива, если

$$-1 < a < 0.$$

Неподвижная точка  $x_1^* = 0$  становится негиперболической с мультипликатором  $-1$  при  $a = 0.0$ :

$$\frac{\partial F(a, x_1^*)}{\partial x} = -1 \Leftrightarrow a = 0.$$

Таким образом,  $a = 0$  есть бифуркационное значение параметра. Вторая неподвижная точка  $x_2^* = -1 - \sqrt{1+a}$  неустойчива для всех  $a > -1$ . Заметим, что мультипликатор неподвижной точки  $x_1^*$  в точке  $a = -3/4$  равен:

$$\frac{\partial F(a, x_1^*)}{\partial x} = 0.$$

Следовательно при переходе через  $a = -3/4$  характер сходимости орбиты к  $x_1^*$  меняется. При

$$-1 < a < -3/4$$

переходный процесс монотонный, а при

$$-3/4 < a < 0$$

– колебательный.

Таким образом, при  $-1 < a < 0$  отображение имеет устойчивую гиперболическую неподвижную точку  $x_1^*$ , причем, если  $-3/4 < a < 0$ , то знак мультипликатора отрицательный.

Когда параметр достигает значения  $a = -1$  неподвижная точка  $x_1^*$  становится негиперболической с мультипликатором  $\frac{\partial F(a, x_1^*)}{\partial x} = -1$ . Поскольку производная Шварца

$$SF(0, x_1^*) = -\frac{\partial F^3(0, x_1^*)}{\partial x^3} - \frac{3}{2} \left[ \frac{\partial F^2(0, x_1^*)}{\partial x^2} \right]^2 = -6 < 0,$$

то  $x_1^*$  асимптотически устойчива. При  $a > 0.0$  неподвижная точка  $x_1^*$  становится неустойчивой.

При  $a > 0$  траектория начинает удаляться от  $x_1^*$  колебательно. Как можно видеть из рис. 6(в), траектория сходится к устойчивому циклу с периодом 2, т.е. происходит удвоения периода колебаний (неподвижная точка – это цикл с периодом 1) !!!

Однако, если мы будем следить за траекторией через каждые две итерации, то она будет сходиться либо к одному  $x_1 = F(x_2)$  или к другому  $x_2 = F(x_1)$  элементам цикла (рис. 6 (в)). В этом случае  $x_1 \neq F(x_1)$ ,

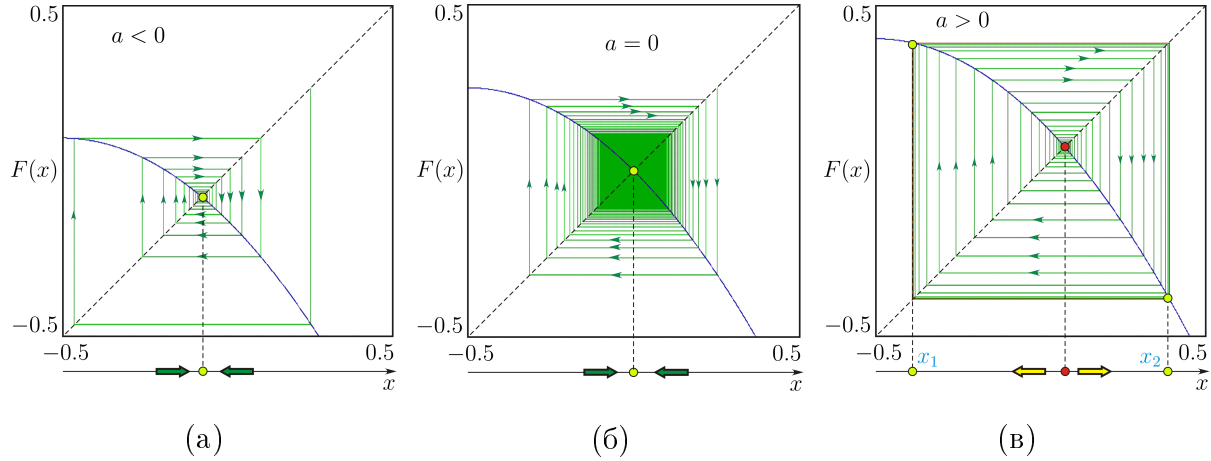


Рис. 6. Суперкритическая бифуркация удвоения периода. (а) До бифуркации  $a < 0.0$ . (б) В точке бифуркации  $a = 0.0$ . (в) После бифуркации  $a > 0.0$

$x_2 \neq F(x_2)$  и  $x_1 = F^2(x_1)$ ,  $x_2 = F^2(x_2)$ . Тогда говорят, что  $x_1, x_2$  — есть периодические точки с периодом 2.

Рассмотрим вторую итерацию функции  $F(a, x)$ :

$$x_{k+1} = Q(a, x) = F^2(a, x_k),$$

$$Q(a, x) = F^2(a, x) = F(F(a, x)) = a - (a - x - x^2) - (a - x - x^2)^2.$$

Неподвижные точки отображения  $Q(a, x)$ :

$$a - x - (a - x - x^2) - (a - x - x^2)^2 = 0.$$

Это уравнение имеет четыре корня. Два корня отвечают неподвижным точкам исходного отображения  $x_{k+1} = F(a, x)$ , а две дополнительные при  $a > 0$ , которые не являются неподвижными точками  $x_{k+1} = F(a, x)$ , отвечают циклу периода 2. Тогда негиперболическая неподвижная точка  $x_1^* = 0$  при  $a = 0$  с мультипликатором  $-1$  для исходного отображения  $F(a, x)$  есть негиперболическая неподвижная точка с мультипликатором  $+1$  для дважды проитерированного отображения  $Q(a, x) = F(F(a, x))$ :

$$\frac{\partial Q(0, x_1^*)}{\partial x} = +1.$$

**Утверждение.** Если в исходном отображении  $x_{k+1} = F(a, x_k)$  происходит бифуркация удвоения периода, связанная с обращением мультипликатора в  $-1$ , то в дважды проитерированном отображении  $x_{k+1} = Q(a, x_k)$ ,  $Q(a, x) = F^2(a, x) = F(F(a, x))$  имеет место виллообразная бифуркация (pitchfork), связанная с обращением мультипликатора в  $+1$ .

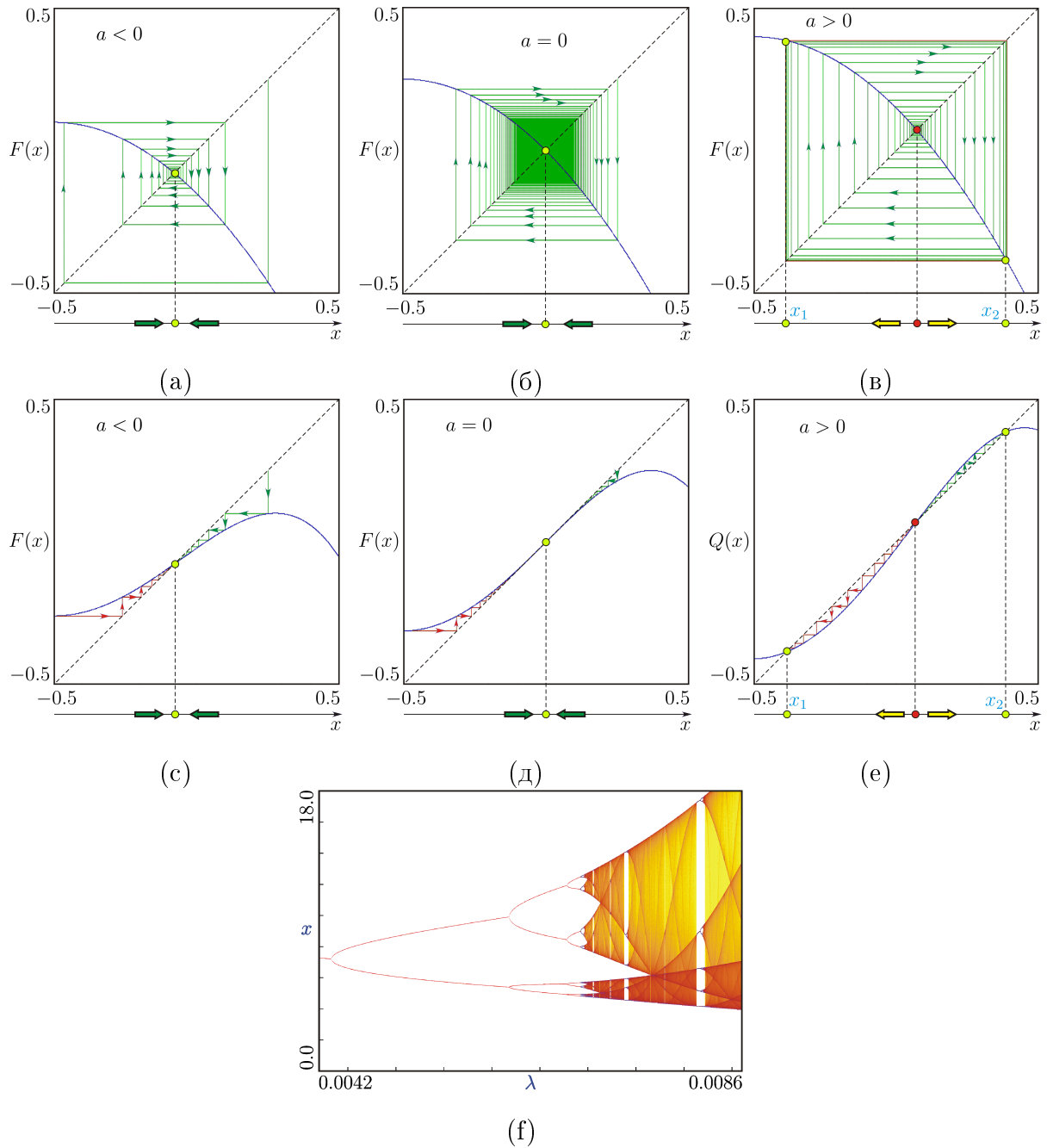


Рис. 7. Суперкритическая бифуркация удвоения периода. (а),(с) До бифуркации  $a < 0.0$ . (б),(д) В точке бифуркации  $a = 0.0$ . (в),(е) После бифуркации  $a > 0.0$ . (f) Бифуркационная диаграмма, иллюстрирующая бесконечный каскад бифуркаций удвоения периода

## 5. Задание на лабораторную работу

### Задача 1

Найдите неподвижные точки и отвечающие им мультипликаторы отображе-

ния

$$x_{k+1} = F(a, x_k), \quad k = 0, 1, 2, \dots,$$
$$F(a, x) = a - x^2.$$

Здесь  $a$  – параметр. Используя этот результат, выполните качественный анализ касательной бифуркации и бифуркации удвоения периода.

### Задача 2

Постройте график функции

$$g(a, x) = F(F(a, x)), \quad F(a, x) = a - x^2$$

при различных значениях параметра  $a$ . Опишите трансформацию графиков  $g(a, x)$  и  $F(a, x)$  в окрестности точки бифуркации удвоения периода неподвижной точки отображения:

$$x_{k+1} = F(a, x_k), \quad F(a, x) = a - x^2.$$

Укажите элементы цикла с периодом 2 после бифуркации на графике дважды проитерированной функции  $g(a, x) = F(F(a, x))$ .

### Задача 3

Покажите, что если отображение

$$x_{k+1} = F(x_k)$$

имеет негиперболическую неподвижную точку  $x_*$  с мультипликатором  $-1$ :

$$F'(x_*) = -1,$$

то вторая итерация этого отображения

$$g(x_*) = F(F(x_*))$$

обладает следующими свойствами:

- $g'(x_*) = +1$ ;
- $g''(x_*) = 0$ ;
- $g'''(x_*) = 2SF(x_*)$ , где

$$SF(x) = \frac{F'''(x)}{F'(x)} - \frac{3}{2} \left[ \frac{F''(x)}{F'(x)} \right]^2$$

– производная Шварца.

#### Задача 4

Используя результат задачи 3, покажите, что бифуркации удвоения периода неподвижной точки отображения

$$x_{k+1} = F(a, x_k), \quad F(a, x) = a(x - x^2)$$

отвечает вилообразная бифуркация неподвижной точки дважды проитерированного отображения

$$x_{k+1} = g(a, x_k), \quad g(a, x) = F(Fa, x), \quad F(a, x) = a(x - x^2).$$

Проверьте условие вилообразной бифуркации. Что можете сказать о знаке производной Шварца?

#### Задача 5

Найдите значения параметра  $a$ , отвечающие касательной бифуркации и бифуркации удвоения периода неподвижной точки отображения

$$x_{k+1} = a - x_k^4.$$

#### Задача 6

Найдите значение параметра  $a$  для суперкритической вилообразной бифуркации неподвижной точки отображения

$$x_{k+1} = ax_k - x_k^3.$$

Изобразите итерационные диаграммы до, в точке и после бифуркации.

Проделайте тоже самое для субкритической вилообразной бифуркации, рассмотрев отображение

$$x_{k+1} = ax_k + x_k^3.$$

#### Задача 7

Найдите неподвижные точки и отвечающие им мультипликаторы отображения

$$x_{k+1} = F(a, x_k), \quad k = 0, 1, 2, \dots, \\ F(a, x) = ax(1 - x).$$

Здесь  $a$  – параметр. Используя этот результат, выполните качественный анализ транскритической бифуркации.

## 5.1. Порядок выполнения работы

- 1. Изучите теоретический материал по бифуркациям одномерных отображений и методику качественного анализа (см. также методические указания к предыдущим лабораторным работам).
- 2. Решите задачи 1-7, используя инструкции, приведенные в методических указаниях к предыдущим лабораторным работам.
- 3. Оформите отчет по лабораторной работе.

### Библиографический список

1. *Kuznetsov Yu. A.* Elements of Applied Bifurcation Theory.— New York: Springer–Verlag, 2004.

2. *Zhusubaliyev Zh.T., Mosekilde E.* Bifurcations and Chaos in Piecewise-Smooth Dynamical Systems. — Singapore: World Scientific, 2003.

3. *Жусубалиев Ж. Т.* Хаотическая динамика в импульсных системах: учебное пособие/ Ж. Т. Жусубалиев, В. Г. Рубанов, В. С. Титов, О. О. Яночкина. – Курск; Белгород: Изд-во БГТУ, 2018. - 143 с.